

東京大学 生産技術研究所 正員 ○山田 真一  
 東京大学 生産技術研究所 正員 龍岡 文夫  
 東京大学 大学院学生 学生員 福島 伸二

## 1. まえがき

地震により崩壊した斜面の安定解析を行なうために原位置より採取した関東ロームの不擾乱試料を用いて種々の条件で中空供試体を用いた非排水ねじり単純せん断試験を行なった。

## 2. 実験方法

試料は、斜面より深さ約30cm~50cmの位置からブロックサンプリングにより採取したものである。地震発生以前には、崩壊面上に約150cmの厚さで表土が存在していたと思われる。試料の物理的性質は、( $G_s = 2.86$ ,  $LL = 126\%$ ,  $PL = 61\%$ ,  $PI = 65\%$ ,  $W_h = 121\%$ )である。

1)等方圧密非排水せん断試験: ブロックより切り出した試料を高さ約10cm 外径約7.0cm, 内径約3.0cmに成形した。供試体の端面及び側面には、口紙をはり、供試体を真空( $0.5 \text{ kgf/cm}^2$ )で約5時間引き、体積収縮が終了したと思われる時点まで寸法を測定し、その後有効応力状態を変化させないように真空圧を拘束圧に置き換え、供試体に二酸化炭素及び脱気水を充分時間をかけて流し背圧( $BP = 2.0 \text{ kgf/cm}^2$ )をかけ  $B = 1.0$  えた。背圧をかけた状態で約15時間所定の拘束圧で圧密後非排水で変位速度  $0.175\%/\text{min}$

で歪制御試験を行なった。詳細については、参考文献1を参照されたい。

2)等方及ぶ異方圧密後、排水条件で初期せん断力をかけた後非排水せん断試験をしたもの: 1)と同様な手順で試料の準備を行ない、以下の条件で実験を行なった。地震により崩壊した斜面は、その角度が、 $\theta = 25^\circ \sim 32^\circ$  であるためその平均として  $\theta = 28.5^\circ$  とし、Fig. 2 を参照し、初期せん断応力は、

$\tau_i = \sigma_n \times \tan\theta$  である。そして圧密条件を以下のように種々かえて行なった。

(a)等方圧密: (1)  $\sigma_{ac} = \sigma_{rc} = 1.0 \text{ kgf/cm}^2$ ,  $\tau_i = 0.543 \text{ kgf/cm}^2$

$$\tau_i = 0.272 \cdot$$

(2)  $\sigma_{ac} = \sigma_{rc} = 0.75 \text{ kgf/cm}^2$ ,  $\tau_i = 0.407 \text{ kgf/cm}^2$  (3)  $\sigma_{ac} = \sigma_{rc} = 0.5 \text{ kgf/cm}^2$ ,  $\tau_i = 0.272 \text{ kgf/cm}^2$

(b)異方圧密: (1)  $\sigma_{ac} = 1.0$ ,  $\sigma_{rc} = 0.5$ ,  $\tau_i = 0.543 \text{ kgf/cm}^2$

(2)  $\sigma_{ac} = 0.5$ ,  $\sigma_{rc} = 0.25$ ,  $\tau_i = 0.272 \text{ kgf/cm}^2$

なお初期せん断力をかける前に所定の圧密条件で約15時間圧密後、排水状態で段階的にだいたい  $0.1 \text{ kgf/cm}^2$  ステップで約1時間おきにかけ、最終的な  $\tau_i$  をかけた後、約12時間放置し、非排水条件で歪度  $0.175\%/\text{min}$  で実験を行なった。

## 3. 実験結果及びせん断強度の推定

写真1は、試験(b): 異方圧密( $\sigma_{ac} = 1.0$ ,  $\sigma_{rc} = 0.5$ ,  $\tau_i = 0.272 \text{ kgf/cm}^2$ ) 後非排水せん断試験中  $\gamma_{at} = 14.3\%$ における供試体の変形形状を撮影したものである。非常に一様に変形していることがわかる。写真2は、試験(c) ( $\sigma_{ac} = \sigma_{rc} = 1.0 \text{ kgf/cm}^2$ ,  $\tau_i = 0$ ) の実験後の写真である。Fig. 3 に、軸方向圧密応力  $\sigma_{ac} = 0.5 \text{ kgf/cm}^2$  における3種類の実験結果の応力-ひずみ曲線を示す。図より、試験(d): 等方状態で初

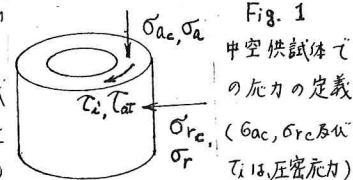


Fig. 1  
中空供試体での応力の定義  
( $\sigma_{ac}, \sigma_{rc}$  及び  
では、圧密応力)

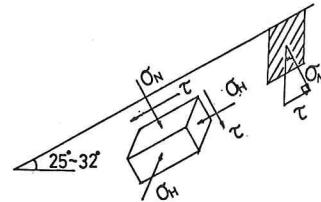


Fig. 2 斜面での土要素の応力状態。

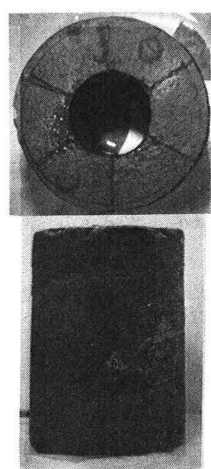


写真 (2)

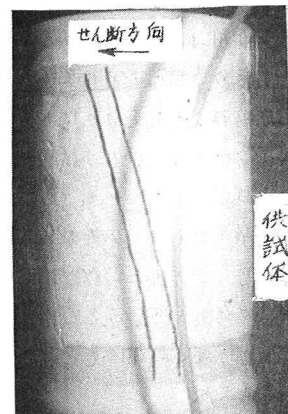


写真 (1)  
(斜面の縁はせん断前とは鉛直であった)

期せん断力をかけたもの、試験(e)；等方状態で  $\tau_i = 0$  のものの試験(f)；異方状態で初期せん断力を  $\tau_{at}$  かけたものにせん断強度にほとんど差がないといふことわかる。したがって  $\sigma_{ac} = 0.5 \text{ kgf/cm}^2$  においては、初期せん断力の有無、その圧密応力比が、そのせん断強度にあまり影響しないのではないかと思われる。一方、軸方向圧密応力  $\sigma_{ac} = 1.0 \text{ kgf/cm}^2$  における実験結果を Fig. 4 に示す。図より  $\sigma_{ac} = 0.5 \text{ kgf/cm}^2$  のものにくらべそのせん断強度の差が大きいことがわかる。試験(d)が試験(c)にくらべ大きく、試験(a)より試験(b)のせん断強度が Fig. 3 や Fig. 4 に示す有効応力経路から次の理由のためと思われる。 $\sigma_{ac} = 0.5 \text{ kgf/cm}^2$  の時は、供試体は、過圧密土的な挙動を示している。即ち、等方圧密からの非排水せん断応力変化も少ないので、初期排水せん断中の体積変化も少ないので(a)と(c)の強度の差が小さい。一方  $\sigma_{ac} = 1.0 \text{ kgf/cm}^2$  の時は、供試体は、正規圧密土的な挙動を示しており、等方圧密からの非排水せん断時に有効応力が減少し、初期排水せん断時に体積収縮が強度が増加しているため(a)が(c)より強度が大きいのだろう。

従て原位置が、正規圧密状態にあるほど原位置と同じ圧密応力状態を再現することが重要となるものと思われる。

Fig. 6 に全応力経路を示す。もし  $\sigma_{ac}$  が  $0.5 \sigma_N$  ～  $6\sigma_N$  の範囲にあるとすれば Fig. 6 の図中に実線で示されていける 2 本の破壊包絡線にはさまれた範囲にそのせん断強度があると思われる。したがって図のようにある  $\sigma_N$  に対してこの土のせん断強度の推定幅がえられる。

以上の事から、中空供試体を用いたねじり単純せん断試験は、斜面応力経路内での要素の種々の圧密応力状態をかなりよく再現できる有用な実験手法と言えるようである。

4. 今後の予計 上述の実験だけでは、目的の斜面安定解析には、まだ充分とはいえない、今後、中空供試体による動的な、ねじり試験を行なう予定である。

#### 5. 謝辞

この実験を行なうにあたりまして、東京大学 生産技術研究所、三木五三郎教授及び東京大学 大学院 大河内保彦氏にいろいろとご指導いただきました。ここに未筆ながら深く感謝の意を表します。

#### 6. 参考文献

- 第 15 回土質工学会報告集 関東ロームの非排水せん断特性。山田真一、大河内保彦、齋岡文夫。

	$\sigma_{ac}$ $\text{kgf/cm}^2$	$\sigma_c$ $\text{kgf/cm}^2$	$\tau_i$ $\text{kgf/cm}^2$	e	Volume Change during Initial Drained Shear (%)
d	0.5	0.5	0.0	3.46	-
e	0.5	0.5	0.272	3.34	0.28
f	0.5	0.25	0.272	3.51	0.31

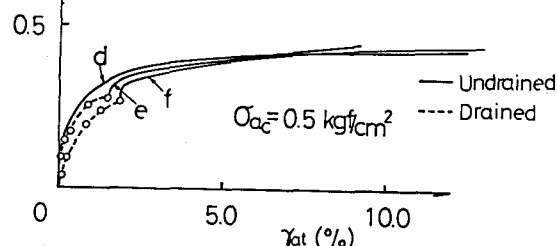


Fig. 4 ねじり単純せん断試験による応力-ひずみ曲線 ( $\sigma_{ac} = 0.5 \text{ kgf/cm}^2$ )  
Volume Change during Initial Drained Shear  
a: 1.30%, b: 1.11%  
— Undrained  
--- Drained

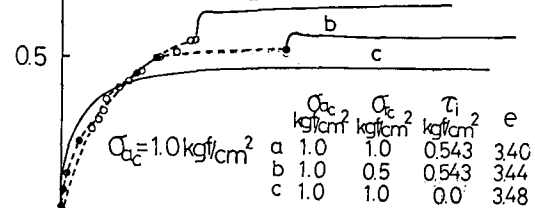


Fig. 4 ねじり単純せん断試験による応力-ひずみ試験  
( $\sigma_{ac} = 1.0 \text{ kgf/cm}^2$ )  
— Undrained  
--- Drained

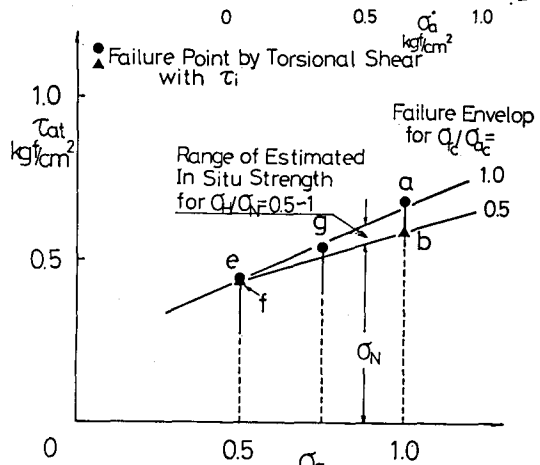
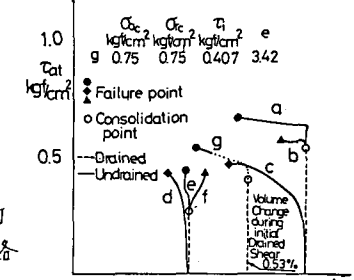


Fig. 6: ねじり単純せん断試験の結果の用い方